
Capítulo 5

Controles e limites

5.1 Introdução

▶ Além de resolver os subsistemas 1 e 2, o cálculo de fluxo de carga deve também:

- incluir a atuação dos **dispositivos de controle**;
- levar em conta os **limites de operação dos equipamentos**.

▶ **Controles** mais comuns:

Controle da magnitude de tensão em barra (local ou remota) através de injeção de reativos;

Controle da magnitude de tensão em barra (local ou remota) por ajuste da posição de taps de transformadores em fase;

Controle de fluxo de potência ativa em transformadores defasadores;

Controle de intercâmbio de potência entre áreas.

▶ **Limites de operação** mais comuns:

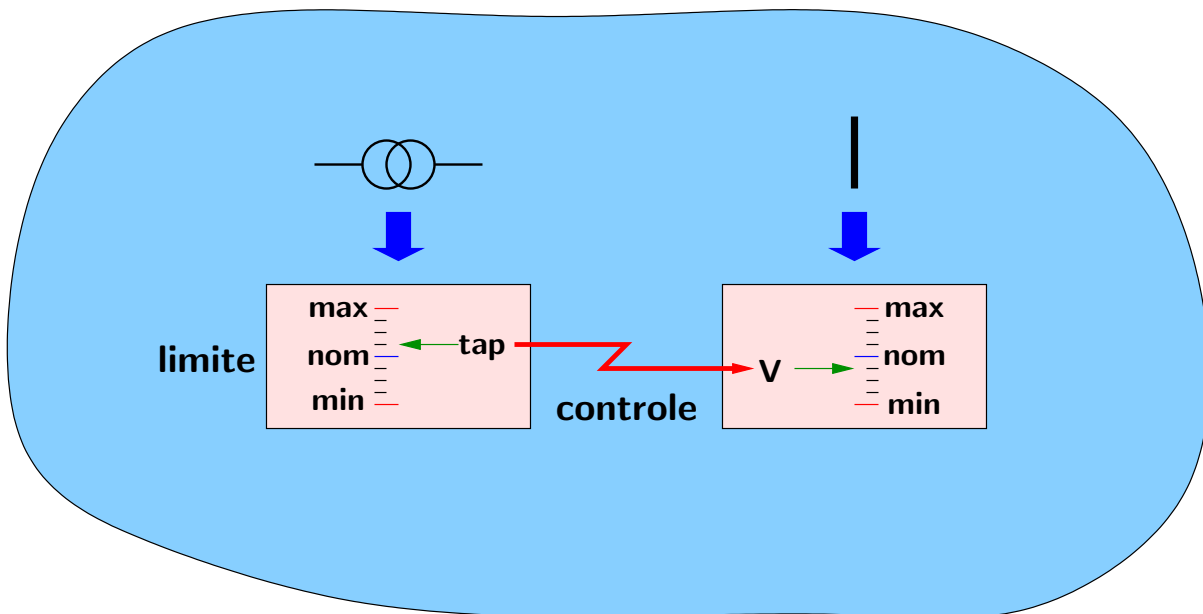
Limite de injeção de potência reativa em barras PV;

Limite de magnitude de tensão em barras PQ;

Limite de posição de tap em transformadores;

■ Exemplo

Considere que a magnitude da tensão em uma barra de carga seja controlada pela posição do tap de um transformador.



5.2 Modos de representação de controles e limites

5.2.1 Classificação por tipo de barra (PQ, PV, $V\theta$, etc.)

- ▶ Através da própria definição das barras PV é feito o controle de magnitude de suas tensões (constantes).

Este controle é levado em conta na própria formulação básica do problema do fluxo de carga.

5.2.2 Ajuste alternado

- ▶ Os dispositivos de controle são mantidos fixos durante a iteração
- ▶ As variáveis de controle são ajustadas entre duas iterações consecutivas de modo a fazer com que as variáveis controladas estejam dentro do intervalo de valores especificados.
- ▶ Os ajustes das variáveis de controle, realizados entre duas iterações do processo de resolução do subsistema 1, são dados por:

$$\Delta u = \alpha \cdot \Delta z = \alpha \cdot (z^{\text{esp}} - z^{\text{cal}})$$

em que:

Δu correção na variável de controle u .

Δz diferença entre os valores especificado (z^{esp}) e calculado (z^{cal}) da variável controlada.

α relação de sensibilidade entre a variável de controle (u) e a controlada (z).

- ▶ O valor de α pode ser calculado (análise de sensibilidade) ou arbitrado (valor empírico).

Em geral o valor de α é arbitrado. Cálculos para a obtenção de α são trabalhosos e tornam o processo de resolução mais lento.

► Esquema geral de ajuste alternado das variáveis de controle:

- (1) Definir os valores iniciais das variáveis de controle u^0 .
- (2) Obter uma solução para o subsistema 1 (estado da rede). Essa solução pode ser obtida:
 - com tolerâncias maiores que as exigidas para a solução final;
 - após um certo número de iterações predefinido.
- (3) Estimar os valores atuais das variáveis controladas z^{cal} .
- (4) Se os erros Δz forem menores que tolerâncias especificadas, não serão necessárias ações de controle → ir para o passo (2).
Caso contrário, continuar.
- (5) Determinar os novos valores das variáveis de controle:

$$u^{\text{novo}} = u^{\text{velho}} + \alpha \cdot \Delta z$$

- (6) Voltar ao passo (2).

5.2.3 Ajuste simultâneo

► Consiste:

- na **incorporação** de equações e variáveis adicionais ao subsistema 1, ou
- na **substituição** de equações e variáveis dependentes do subsistema 1 por novas equações/variáveis.

■ Exemplo

Considere um transformador defasador que conecta as barras k e m :

- ▶ variável de controle é φ_{km} (posição do tap)
- ▶ variável controlada é P_{km} (fluxo de potência ativa)
- ▶ anexar uma equação ao subsistema 1:

$$P_{km}^{esp} - P_{km}^{cal}(\varphi_{km}) = 0$$

- ▶ anexar variável φ_{km} ao conjunto de variáveis dependentes (vetor x)

Considere agora um transformador em fase que conecta as barras k e m :

- ▶ variável de controle é a_{km} (posição do tap)
- ▶ variável controlada pode ser, por exemplo, V_m (tensão em uma das barras terminais do transformador)
- ▶ posição do tap a_{km} substitui V_m no vetor x



5.3 Conseqüências da introdução de controles e limites

- ▶ A introdução de controles e limites pode resultar em complicações no processo de resolução de fluxo de carga:
 - controles e limites afetam consideravelmente o desempenho de convergência do subsistema 1.

Quanto maior for o número de controles e limites, maior será essa influência.

- a convergência fica mais lenta.

A inclusão de controles e limites resulta em geral em um aumento do número de iterações.

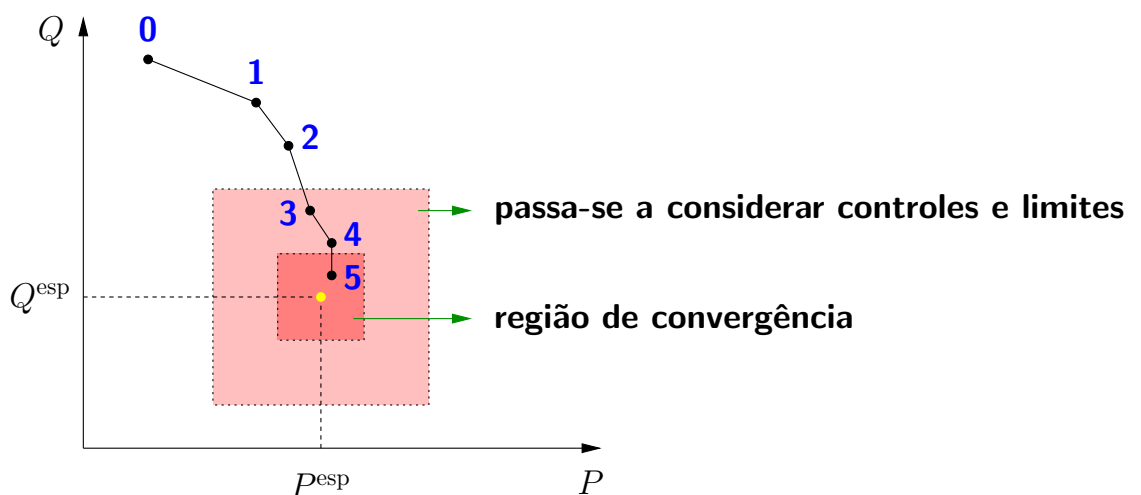
- a interferência entre controles (principalmente entre aqueles eletricamente próximos) pode levar à não-convergência.
- o processo de ajustes (controles e limites) deve ser iniciado após o processo já estar próximo de uma solução.

Evita-se comparar valores especificados com valores calculados que ainda estão muito longe de serem valores realistas.

- podem levar à ocorrência de soluções múltiplas para um mesmo problema.
- ajustes muito pequenos → convergência lenta.
- ajustes muito grandes → convergência lenta ou divergência.

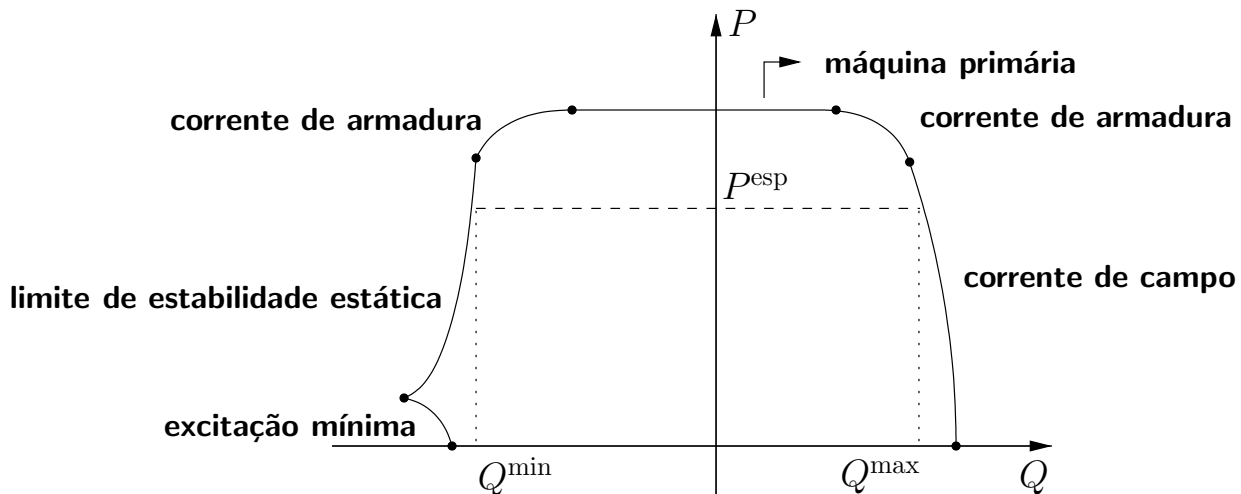
■ Exemplo

Considere a atuação de uma variável de controle em uma rede de duas barras.



5.4 Controle de tensão em barras PV

- ▶ Em barras que contêm **geradores** ou **compensadores síncronos (PV)** é feito o controle da magnitude da tensão nodal através da injeção de potência reativa.
- ▶ **Diagrama de capacidade (capability)** de uma máquina síncrona para $V = V^{\text{esp}}$:

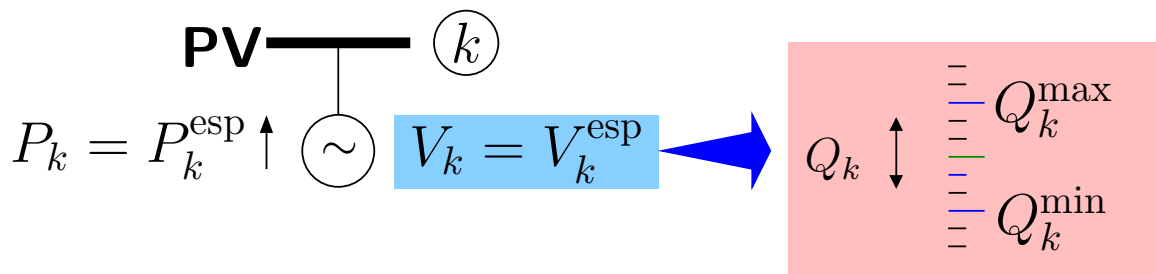


- ▶ Para uma barra PV, especifica-se P^{esp} e $V^{\text{esp}} \rightsquigarrow$ determina-se Q^{min} e Q^{max} .
- ▶ O controle é feito através do ajuste da corrente de campo (I_f) da máquina síncrona:
 - I_f pequena \rightarrow máquina subexcitada \rightarrow absorve reativos da rede
 - I_f grande \rightarrow máquina sobreexcitada \rightarrow injeta reativos na rede

► Para uma barra k do tipo PV:

$$V_k = V_k^{\text{esp}}$$

$$Q_k^{\text{min}} \leq Q_k^{\text{cal}} \leq Q_k^{\text{max}}$$



► A tensão na barra deve ser mantida constante em V_k^{esp} . Na resolução do subsistema 1, isto é conseguido:

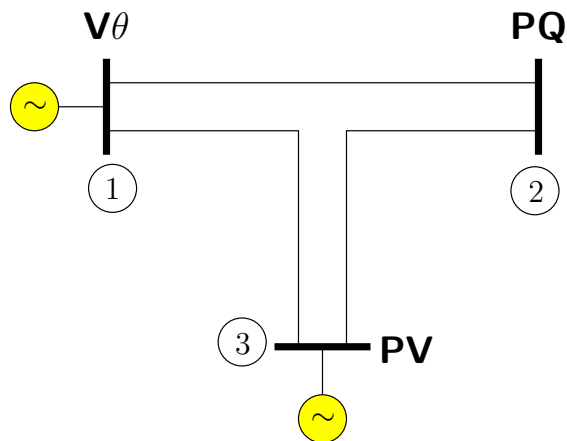
- retirando a equação referente a Q_k do subsistema 1

A matriz Jacobiana não contém a linha cujos elementos são $\partial Q_k / \partial \theta_m$ e $\partial Q_k / \partial V_m$ e a coluna correspondente às derivadas $\partial P_m / \partial V_k$ e $\partial Q_m / \partial V_k$.

- forçando a correção de tensão ΔV_k a ser igual a zero durante o processo iterativo.

■ Exemplo

Considere a rede de três barras e três ramos mostrada a seguir.



A equação básica de fluxo de carga para a rede é a seguinte (considerando todos os elementos):

$$\begin{array}{|c|} \hline \Delta P_1 \\ \hline \Delta P_2 \\ \hline \Delta P_3 \\ \hline \Delta Q_1 \\ \hline \Delta Q_2 \\ \hline \Delta Q_3 \\ \hline \end{array} = \underbrace{\begin{array}{|c|c|c|c|c|c|} \hline P_1\theta_1 & P_1\theta_2 & P_1\theta_3 & P_1V_1 & P_1V_2 & P_1V_3 \\ \hline P_2\theta_1 & P_2\theta_2 & P_2\theta_3 & P_2V_1 & P_2V_2 & P_2V_3 \\ \hline P_3\theta_1 & P_3\theta_2 & P_3\theta_3 & P_3V_1 & P_3V_2 & P_3V_3 \\ \hline Q_1\theta_1 & Q_1\theta_2 & Q_1\theta_3 & Q_1V_1 & Q_1V_2 & Q_1V_3 \\ \hline Q_2\theta_1 & Q_2\theta_2 & Q_2\theta_3 & Q_2V_1 & Q_2V_2 & Q_2V_3 \\ \hline Q_3\theta_1 & Q_3\theta_1 & Q_3\theta_3 & Q_3V_1 & Q_3V_2 & Q_3V_3 \\ \hline \end{array}}_{\mathbf{J}} \cdot \begin{array}{|c|} \hline \Delta\theta_1 \\ \hline \Delta\theta_2 \\ \hline \Delta\theta_3 \\ \hline \Delta V_1 \\ \hline \Delta V_2 \\ \hline \Delta V_3 \\ \hline \end{array}$$

em que, por exemplo:

$$P_1\theta_1 = \frac{\partial}{\partial\theta_1}P_1$$

Para a resolução do **subsistema 1** somente as equações de ΔP_2 , ΔP_3 e ΔQ_2 são utilizadas.

Colocando um número grande nos elementos da diagonal apropriados correspondentes às barras de referência e PV, tem-se:

$$\begin{array}{c}
 \Delta P_1 \\
 \Delta P_2 \\
 \Delta P_3 \\
 \Delta Q_1 \\
 \Delta Q_2 \\
 \Delta Q_3
 \end{array}
 =
 \underbrace{
 \begin{array}{c}
 \begin{array}{|c|c|c|c|c|c|}
 \hline
 \infty & P_1\theta_2 & P_1\theta_3 & P_1V_1 & P_1V_2 & P_1V_3 \\
 \hline
 P_2\theta_1 & P_2\theta_2 & P_2\theta_3 & P_2V_1 & P_2V_2 & P_2V_3 \\
 \hline
 P_3\theta_1 & P_3\theta_2 & P_3\theta_3 & P_3V_1 & P_3V_2 & P_3V_3 \\
 \hline
 Q_1\theta_1 & Q_1\theta_2 & Q_1\theta_3 & \infty & Q_1V_2 & Q_1V_3 \\
 \hline
 Q_2\theta_1 & Q_2\theta_2 & Q_2\theta_3 & Q_2V_1 & Q_2V_2 & Q_2V_3 \\
 \hline
 Q_3\theta_1 & Q_3\theta_1 & Q_3\theta_3 & Q_3V_1 & Q_3V_2 & \infty \\
 \hline
 \end{array}
 \\
 \mathbf{J}
 \end{array}
 \cdot
 \begin{array}{c}
 \Delta\theta_1 \\
 \Delta\theta_2 \\
 \Delta\theta_3 \\
 \Delta V_1 \\
 \Delta V_2 \\
 \Delta V_3
 \end{array}$$

As correções nas variáveis de estado são dadas por:

$$\begin{array}{c}
 \Delta\theta_1 \\
 \Delta\theta_2 \\
 \Delta\theta_3 \\
 \Delta V_1 \\
 \Delta V_2 \\
 \Delta V_3
 \end{array}
 =
 \underbrace{
 \begin{array}{c}
 \begin{array}{|c|c|c|c|c|c|}
 \hline
 0 & 0 & 0 & 0 & 0 & 0 \\
 \hline
 0 & \times & \times & 0 & \times & 0 \\
 \hline
 0 & \times & \times & 0 & \times & 0 \\
 \hline
 0 & 0 & 0 & 0 & 0 & 0 \\
 \hline
 0 & \times & \times & 0 & \times & 0 \\
 \hline
 0 & 0 & 0 & 0 & 0 & 0 \\
 \hline
 \end{array}
 \\
 \mathbf{J}^{-1}
 \end{array}
 \cdot
 \begin{array}{c}
 \Delta P_1 \\
 \Delta P_2 \\
 \Delta P_3 \\
 \Delta Q_1 \\
 \Delta Q_2 \\
 \Delta Q_3
 \end{array}$$

- ▶ as correções ΔV_1 e $\Delta\theta_1$ são iguais a zero (barra slack).
- ▶ a correção ΔV_3 é igual a zero (barra PV).
- ▶ o mismatch ΔQ_3 não afeta as correções das variáveis de estado.
- ▶ a situação é semelhante no caso dos métodos desacoplados.



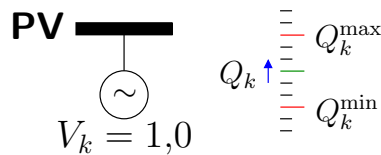
► Problema:

- a tensão na barra PV é mantida constante através da injeção ou absorção de potência reativa pela máquina conectada a ela.
 - existem limites máximo e mínimo para a injeção de potência reativa para a máquina.
 - em algumas situações tais limites são atingidos sem que seja possível manter a tensão no nível especificado.
- Deve-se ter um procedimento de verificação de violação dos limites de potência reativa de barras PV no processo de resolução do problema de fluxo de carga.

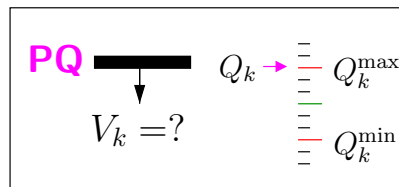
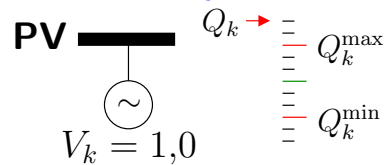
5.4.1 Ajuste alternado

- Considere uma certa barra k do tipo PV para a qual se realiza o controle de geração de potência reativa.

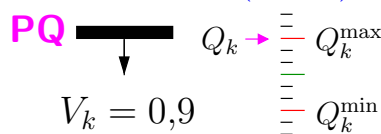
Durante o processo iterativo



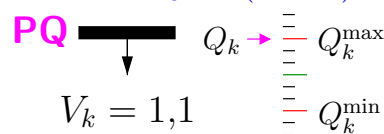
Iteração x



Iteração $(x + 1)$



Iteração $(x + 1)$



Deve continuar a ser PQ

Pode voltar a ser PV

► Descrição de uma situação particular:

- ao longo do processo iterativo a injeção de reativos na barra k aumenta, para manter a tensão V_k no valor especificado.
- em uma certa iteração o limite Q_k^{\max} é violado ($Q_k^{\text{cal}} > Q_k^{\max}$).
- a partir daí, não há o suporte de reativos necessário na barra k para manter a tensão em V_k^{esp} .
A tensão V_k tende a cair.
- neste caso, a barra k é redefinida, passando de PV para PQ.
A tensão agora varia e passa a fazer parte do vetor de variáveis dependentes x .
Deve-se então especificar uma potência reativa para a nova barra PQ:

$$Q_k^{\text{esp}} = Q_k^{\max} \quad (\text{potência especificada igual ao limite violado})$$

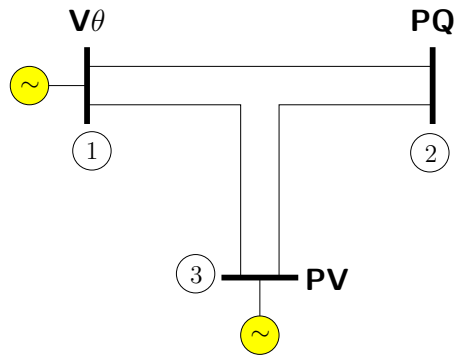
Deve-se incluir a equação correspondente a ΔQ_k no conjunto das equações de fluxo de carga (e as linhas e colunas correspondentes a Q_k na matriz Jacobiana).

- nas iterações seguintes, deve-se verificar a possibilidade da barra k voltar ao seu tipo original (PV) através da verificação do valor de V_k^{cal} .
- se $V_k^{\text{cal}} < V_k^{\text{esp}}$ a barra k deve continuar como PQ, pois um aumento de V_k só é possível aumentando-se Q_k , que já está no limite máximo.
- se $V_k^{\text{cal}} \geq V_k^{\text{esp}}$ barra k pode voltar a ser PV, pois a tensão subiu acima do especificado, indicando que há uma folga de reativos. Para diminuir V_k basta diminuir Q_k , o que é possível.
A barra k volta a ser PV, com $V_k = V_k^{\text{esp}}$ e a potência reativa Q_k fica novamente liberada para variar.

► Raciocínio análogo pode ser feito para o caso em que o limite Q_k^{\min} é atingido.

■ Exemplo

Considere que o limite de geração de potência reativa da barra 3 da rede a seguir seja atingido em uma certa iteração.



$$\begin{matrix} \Delta P_1 \\ \Delta P_2 \\ \Delta P_3 \\ \Delta Q_1 \\ \Delta Q_2 \\ \Delta Q_3 \end{matrix} = \underbrace{\begin{matrix} \infty & P_1\theta_2 & P_1\theta_3 & P_1V_1 & P_1V_2 & P_1V_3 \\ P_2\theta_1 & P_2\theta_2 & P_2\theta_3 & P_2V_1 & P_2V_2 & P_2V_3 \\ P_3\theta_1 & P_3\theta_2 & P_3\theta_3 & P_3V_1 & P_3V_2 & P_3V_3 \\ Q_1\theta_1 & Q_1\theta_2 & Q_1\theta_3 & \infty & Q_1V_2 & Q_1V_3 \\ Q_2\theta_1 & Q_2\theta_2 & Q_2\theta_3 & Q_2V_1 & Q_2V_2 & Q_2V_3 \\ Q_3\theta_1 & Q_3\theta_1 & Q_3\theta_3 & Q_3V_1 & Q_3V_2 & \infty \end{matrix}}_{\mathbf{J}} \cdot \begin{matrix} \Delta\theta_1 \\ \Delta\theta_2 \\ \Delta\theta_3 \\ \Delta V_1 \\ \Delta V_2 \\ \Delta V_3 \end{matrix}$$

Barra 3 → de PV para PQ

$$\begin{matrix} \Delta P_1 \\ \Delta P_2 \\ \Delta P_3 \\ \Delta Q_1 \\ \Delta Q_2 \\ \Delta Q_3 \end{matrix} = \underbrace{\begin{matrix} \infty & P_1\theta_2 & P_1\theta_3 & P_1V_1 & P_1V_2 & P_1V_3 \\ P_2\theta_1 & P_2\theta_2 & P_2\theta_3 & P_2V_1 & P_2V_2 & P_2V_3 \\ P_3\theta_1 & P_3\theta_2 & P_3\theta_3 & P_3V_1 & P_3V_2 & P_3V_3 \\ Q_1\theta_1 & Q_1\theta_2 & Q_1\theta_3 & \infty & Q_1V_2 & Q_1V_3 \\ Q_2\theta_1 & Q_2\theta_2 & Q_2\theta_3 & Q_2V_1 & Q_2V_2 & Q_2V_3 \\ Q_3\theta_1 & Q_3\theta_1 & Q_3\theta_3 & Q_3V_1 & Q_3V_2 & Q_3V_3 \end{matrix}}_{\mathbf{J}} \cdot \begin{matrix} \Delta\theta_1 \\ \Delta\theta_2 \\ \Delta\theta_3 \\ \Delta V_1 \\ \Delta V_2 \\ \Delta V_3 \end{matrix}$$



- ▶ Um outro método de controle de tensão em barras de geração consiste em realizar ajustes no valor de tensão especificada da barra PV de forma a eliminar a violação de potência reativa:

$$\Delta V_k^{\text{esp}} = \alpha \cdot \Delta Q_k^G$$

em que ΔQ_k^G é o montante de violação e α é um fator de sensibilidade.

- ▶ Este método também deve incluir a possibilidade de volta ao valores iniciais de tensão especificada.

5.5 Limites de tensão em barras PQ

- ▶ Em estudos de planejamento da expansão de redes elétricas costuma-se estabelecer limites de tensão em barras PQ (mesmo que não existam realmente dispositivos de controle capazes de realizar tal tarefa).

Pode-se verificar quais são as áreas críticas com relação aos níveis de tensão/suporte de reativos.

Estágio 1 do planejamento: determinar uma rede que atenda aos requisitos de geração e demanda de potência ativa utilizando um modelo simplificado (como por exemplo o fluxo de carga linearizado ou c.c., que será visto adiante).

Estágio 2 do planejamento: avaliar o desempenho em termos de suporte de reativos e do perfil de tensões da rede utilizando um modelo completo (fluxo de carga c.a.).

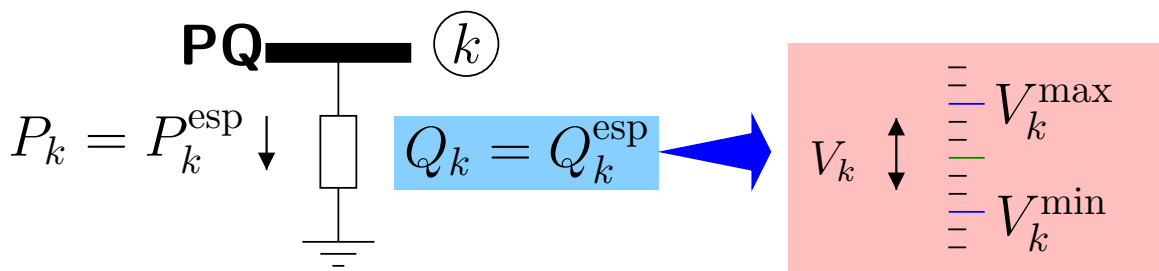
- ▶ Algumas vezes não se consegue a convergência no estágio 2 por problemas no fornecimento de reativos.

Através da limitação da tensão das barras PQ (por exemplo $\pm 10\%$ em torno do valor nominal) pode-se:

- obter a convergência.
 - ter uma indicação dos locais em que existem problemas de suporte de reativos.
- ▶ Deve-se ter um procedimento de verificação dos limites de tensão nas barras PQ.
- ▶ Para uma barra k do tipo PQ:

$$Q_k = Q_k^{\text{esp}}$$

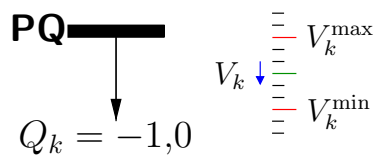
$$V_k^{\text{min}} \leq V_k^{\text{cal}} \leq V_k^{\text{max}}$$



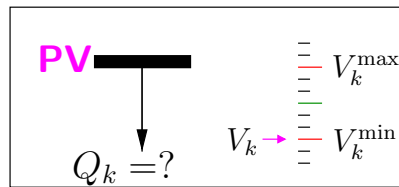
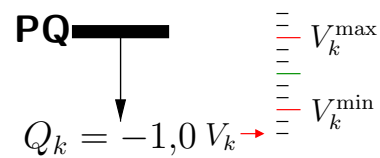
5.5.1 Ajuste alternado

- Considere uma certa barra k do tipo PQ para a qual se realiza o controle de tensão.

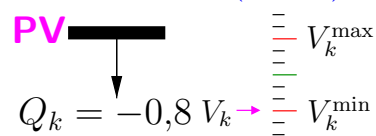
Durante o processo iterativo



Iteração x

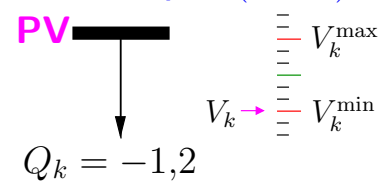


Iteração $(x + 1)$



Deve continuar a ser PV

Iteração $(x + 1)$



Pode voltar a ser PQ

► Descrição de uma situação particular:

- a tensão na barra k é calculada a cada iteração do processo de resolução do subsistema 1.
- ao longo do processo iterativo a magnitude da tensão na barra k cai.
- em uma certa iteração o limite V_k^{\min} é violado ($V_k^{\text{cal}} < V_k^{\min}$).
- neste caso, a barra k é redefinida, passando de PQ para PV. A tensão agora é fixada em $V_k^{\text{esp}} = V_k^{\min}$.

A potência reativa para a nova barra PV é liberada (pode variar).

Deve-se eliminar a equação correspondente a ΔQ_k do conjunto de equações de fluxo de carga.

- na iteração seguinte a potência reativa deve aumentar para manter a tensão no valor especificado → equivale à ligação de capacitores na barra para fornecer o suporte de reativos necessários.
- nas iterações subseqüentes deve-se verificar a possibilidade da barra k voltar ao seu tipo original (PQ) através da verificação do valor de Q_k^{cal} .
- se $Q_k^{\text{cal}} > Q_k^{\text{esp}}$ a barra k deve continuar como PV, pois é preciso mais potência reativa para manter a tensão no seu valor mínimo.
- se $Q_k^{\text{cal}} \leq Q_k^{\text{esp}}$ a barra k pode voltar a ser PQ, pois há falta de reativos. Voltando a ser PQ, tem-se $Q_k = Q_k^{\text{esp}}$ e a tensão tenderá a aumentar voltando a respeitar a faixa definida.

► Raciocínio análogo pode ser feito para o caso em que o limite V_k^{\max} é atingido.

5.6 Transformadores em fase com controle automático de tap

- ▶ Controle de tap → ajuste da magnitude de tensões nodais.
- ▶ Em geral, a barra de tensão controlada é uma das barras terminais do transformador. Pode ser também uma barra remota.
- ▶ Considere um transformador conectado entre as barras k e m . Deseja-se controlar a tensão V_m :

$$V_m = V_m^{\text{esp}}$$

ou

$$V_m^{\text{min}} \leq V_m \leq V_m^{\text{max}}$$

5.6.1 Ajuste alternado

- ▶ O ajuste do tap é dado por:

$$\Delta a_{km} = \alpha \cdot \Delta V_m$$

em que:

Δa_{km} **correção na posição do tap.**

α **fator de sensibilidade entre a variável de controle e a controlada.**

$\Delta V_m = V_m^{\text{esp}} - V_m^{\text{cal}} \rightarrow$ **correção necessária de tensão na barra controlada.**

ou

$= V_m^{\text{lim}} - V_m^{\text{cal}} \rightarrow V_m^{\text{lim}}$ **corresponde ao limite violado (V_m^{min} ou V_m^{max}).**

- ▶ Se a barra k for rígida (sua tensão é constante, independentemente da posição do tap) $\rightarrow \alpha \approx 1$.
- ▶ Método desacoplado rápido \rightarrow matrizes B' e B'' são constantes. Os elementos de B'' dependem do valor do tap. Utiliza-se o valor inicial de tap a_{km}^0 e este valor é mantido durante o processo iterativo \rightarrow matriz continua a mesma. Os mismatches levam em conta todos os valores atualizados dos taps \rightarrow é uma garantia de que a mesma solução final será atingida.

5.6.2 Ajuste simultâneo

- ▶ É realizado através da modificação das equações do subsistema 1.
- ▶ Deseja-se que $V_m^{cal} = V_m^{esp} \rightarrow$ transforma-se a barra m do tipo PQ em uma barra do tipo PQV, ou seja, são especificados P_m , Q_m e V_m .
- ▶ A tensão V_m é substituída pela posição do tap a_{km} no vetor das variáveis dependentes.
- ▶ O problema fica:

$$\begin{array}{c} \Delta \underline{P} \\ \hline \Delta \underline{Q} \end{array} = \begin{array}{|c|c|c|} \hline \frac{\partial \underline{P}}{\partial \underline{\theta}} & \frac{\partial \underline{P}}{\partial \underline{V}} & \frac{\partial \underline{P}}{\partial \underline{a}} \\ \hline \frac{\partial \underline{Q}}{\partial \underline{\theta}} & \frac{\partial \underline{Q}}{\partial \underline{V}} & \frac{\partial \underline{Q}}{\partial \underline{a}} \\ \hline \end{array} \cdot \begin{array}{c} \Delta \underline{\theta} \\ \hline \Delta \underline{V} \\ \hline \Delta \underline{a} \end{array} \left. \begin{array}{l} \} \text{NPQ} + \text{NPV} + \text{NPQV} \\ \} \text{NPQ} \\ \} \text{NPQV} \end{array} \right.$$

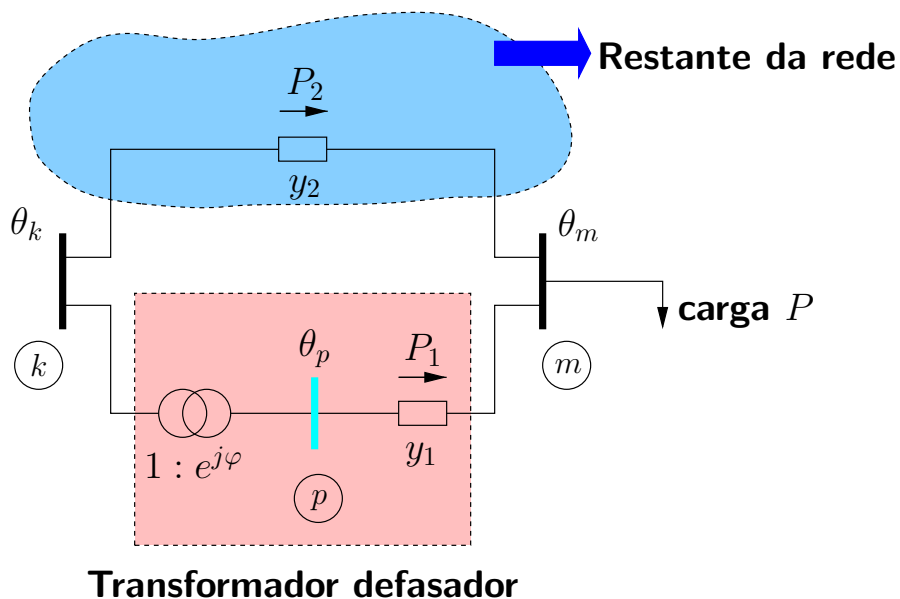
- ▶ Considerou-se que todas as barras PQV têm suas tensões reguladas por transformadores (simplificação).
- ▶ Os novos elementos da matriz Jacobiana podem ser facilmente obtidos a partir das expressões dos fluxos de potência nos ramos.

5.7 Transformadores defasadores com controle automático de fase

- ▶ São utilizados para regular o fluxo de potência ativa nos ramos onde são inseridos.

5.7.1 Princípio de funcionamento (revisão)

- ▶ Considere o seguinte circuito:



- ▶ Considere que o fluxo de potência ativa entre duas barras seja proporcional à abertura angular (diferença entre os ângulos de fase) do ramo entre elas:

$$P_2 = k_2 \cdot \theta_{km} = k_2 \cdot (\theta_k - \theta_m)$$

- ▶ Considere ainda que o fator de proporcionalidade seja igual ao inverso da reatância série do ramo:

$$P_2 = \frac{1}{x_2} \cdot \theta_{km}$$

A equação acima será obtida adiante, a partir das próprias equações do fluxo de carga, consideradas algumas simplificações. Assim:

$$\theta_{km} = x_2 \cdot P_2$$

- ▶ Da mesma forma:

$$\begin{aligned} P_1 &= k_1 \cdot \theta_{pm} \\ &= \frac{1}{x_1} \cdot (\theta_p - \theta_m) \\ &= \frac{1}{x_1} \cdot (\theta_k + \varphi_{km} - \theta_m) \\ &= \frac{1}{x_1} \cdot (\theta_{km} + \varphi_{km}) \end{aligned}$$

A abertura angular θ_{km} vale:

$$\theta_{km} = x_1 \cdot P_1 - \varphi_{km}$$

- ▶ Igualando as equações de θ_{km} :

$$\varphi_{km} - x_1 P_1 + x_2 P_2 = 0$$

- ▶ Aplicando-se a lei das correntes de Kirchhoff na barra m :

$$P_2 = P - P_1$$

que, substituída na equação anterior resulta em:

$$\varphi_{km} - x_1 P_1 + x_2 (P - P_1) = 0$$

$$\varphi_{km} - (x_1 + x_2) P_1 + x_2 P = 0$$

- ▶ Uma alteração no ângulo de defasagem $\Delta\varphi_{km}$ provoca uma alteração no fluxo de potência ΔP_1 pelo transformador defasador. Da equação mostrada anteriormente tem-se:

$$\begin{aligned}
 & (\varphi_{km} + \Delta\varphi_{km}) - (x_1 + x_2) \cdot (P_1 + \Delta P_1) + x_2 P = 0 \\
 & \underbrace{\varphi_{km} - (x_1 + x_2) \cdot P_1 + x_2 \cdot P}_{=0} + \Delta\varphi_{km} - (x_1 + x_2) \cdot \Delta P_1 = 0
 \end{aligned}$$

$$\Delta\varphi_{km} - (x_1 + x_2) \Delta P_1 = 0$$

Logo:

$$\frac{\Delta\varphi_{km}}{\Delta P_1} = x_1 + x_2 = \alpha$$

ou

$$\Delta P_1 = \frac{\Delta\varphi_{km}}{\alpha} = \frac{\Delta\varphi_{km}}{(x_1 + x_2)}$$

► Interpretação:

■ Se $x_2 \ll x_1$ (restante da rede **forte**):

$$\Delta P_1 \approx \frac{\Delta\varphi_{km}}{x_1}$$

■ Se $x_2 \gg x_1$ (restante da rede **fraco**):

$$\Delta P_1 \approx \frac{\Delta\varphi_{km}}{x_2}$$

■ Para um certo valor de $\Delta\varphi_{km}$:

- a variação de fluxo ΔP_1 dependerá dos valores de x_1 e x_2 .
- uma maior variação de fluxo ΔP_1 é obtida se o restante da rede for forte.

5.7.2 Ajuste alternado

- ▶ Após uma iteração de fluxo de carga, calcula-se o fluxo de potência ativa pelo transformador P_{km}^{cal} .

Compara-se o fluxo calculado com o desejado (especificado), obtendo-se o erro:

$$\Delta P_{km} = P_{km}^{esp} - P_{km}^{cal}$$

- ▶ Altera-se a posição do tap do transformador de:

$$\Delta \varphi_{km} = \alpha \cdot \Delta P_{km}$$

em que α é um fator de sensibilidade.

5.7.3 Ajuste simultâneo

- ▶ Consiste em alterar o conjunto de equações do subsistema 1.
- ▶ A equação:

$$\Delta P_D = P_{km}^{esp} - P_{km}^{cal}$$

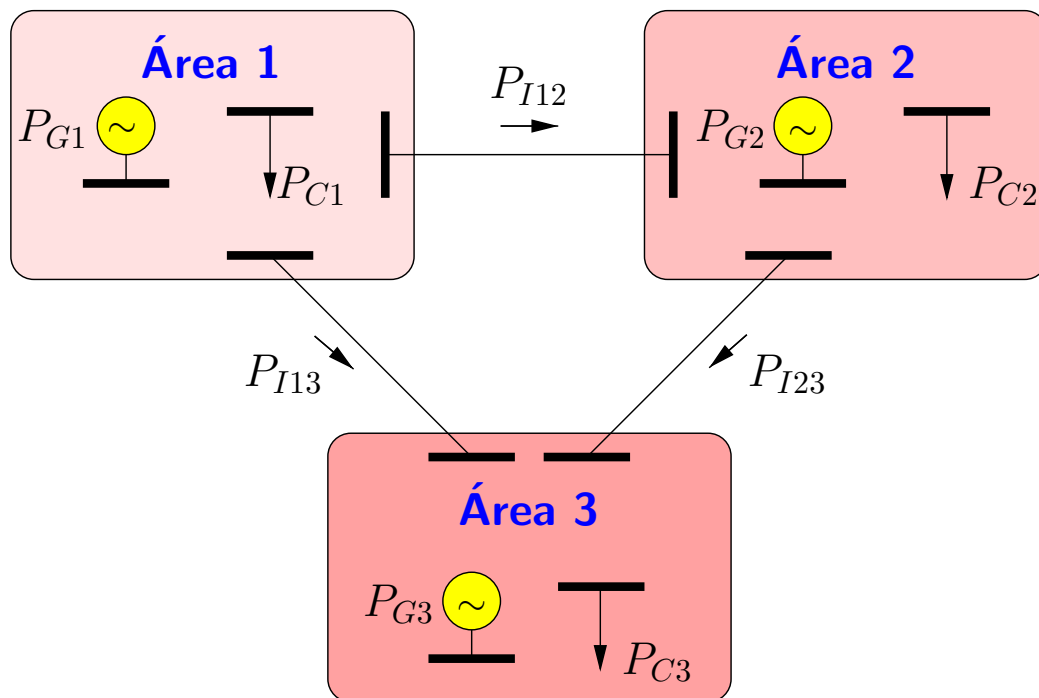
é incluída no conjunto de equações de fluxo de carga.

- ▶ φ_{km} é incluído no vetor de variáveis dependentes e ΔP_D é incluído no vetor de mismatches:

$$\text{ND} \left\{ \begin{array}{c} \Delta \underline{P} \\ \Delta \underline{Q} \\ \Delta \underline{P}_D \end{array} \right\} = \begin{array}{|c|c|c|} \hline \frac{\partial}{\partial \underline{\theta}} \underline{P} & \frac{\partial}{\partial \underline{V}} \underline{P} & \frac{\partial}{\partial \underline{\varphi}} \underline{P} \\ \hline \frac{\partial}{\partial \underline{\theta}} \underline{Q} & \frac{\partial}{\partial \underline{V}} \underline{Q} & \frac{\partial}{\partial \underline{\varphi}} \underline{Q} \\ \hline \frac{\partial}{\partial \underline{\theta}} \underline{P}_D & \frac{\partial}{\partial \underline{V}} \underline{P}_D & \frac{\partial}{\partial \underline{\varphi}} \underline{P}_D \\ \hline \end{array} \cdot \left\{ \begin{array}{c} \Delta \underline{\theta} \\ \Delta \underline{V} \\ \Delta \underline{\varphi} \end{array} \right\} \text{ND}$$

5.8 Controle de intercâmbio entre áreas

- ▶ Considere a rede elétrica composta por três áreas mostrada a seguir.



- ▶ As gerações e demandas nas respectivas áreas (por exemplo P_{G1} e P_{C1}) não são necessariamente iguais.
- ▶ A geração total deve ser igual à demanda total:

$$\sum_{j=1}^3 P_{Gj} = \sum_{j=1}^3 P_{Cj}$$

- ▶ **Intercâmbio líquido de potência:** soma algébrica dos fluxos nos ramos que interligam uma área com as outras:

$$\begin{aligned} P_{I1} &= P_{I12} + P_{I13} \\ P_{I2} &= P_{I23} - P_{I12} \\ P_{I3} &= -P_{I13} - P_{I23} \end{aligned}$$

- ▶ Para um sistema interligado composto por NA áreas, são controlados os fluxos de intercâmbio de $(NA - 1)$ áreas.
O fluxo de intercâmbio da área restante fica automaticamente definido (leis das correntes de Kirchhoff).

5.8.1 Ajuste alternado

- ▶ Considere que exista um valor de intercâmbio líquido especificado de acordo com algum critério \rightarrow por exemplo, P_{I1}^{esp} .
- ▶ Após cada iteração de fluxo de carga calcula-se o intercâmbio líquido de potência de cada área e o respectivo erro de intercâmbio.
Para a área 1:

$$\begin{aligned} \Delta P_{I1} &= P_{I1}^{\text{esp}} - P_{I1}^{\text{cal}} \\ &= P_{I1}^{\text{esp}} - (P_{I12} + P_{I13}) \end{aligned}$$

- ▶ O erro de intercâmbio é compensado através de um ajuste de geração na área.
Para a área 1:

$$\Delta P_{G1} = \alpha \cdot \Delta P_{I1}$$

- ▶ Em geral considera-se $\alpha = 1$ e:

$$\Delta P_{G1} = \Delta P_{I1}$$

- ▶ ΔP_{G1} é distribuído entre os geradores da área 1 de acordo com algum critério prestabelecido. Em geral é atribuído a um só gerador → o gerador da barra slack da área 1.
- ▶ A barra slack da área 1 passa a ser classificada como sendo do tipo PV na próxima iteração, com valor de potência ativa especificada igual à potência especificada anteriormente acrescida de ΔP_{G1} .

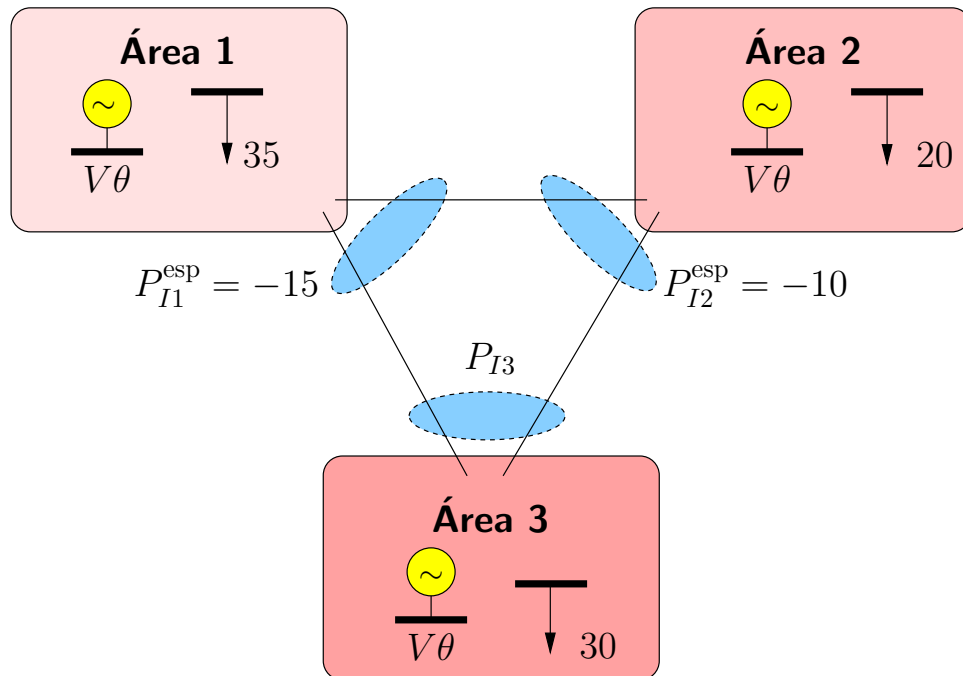
O raciocínio para a área 2 é análogo.

- ▶ A barra slack da área 3 não muda seu tipo.

Passa a ser a barra slack (tipo $V\theta$) e fornecer a referência angular para todo o sistema.

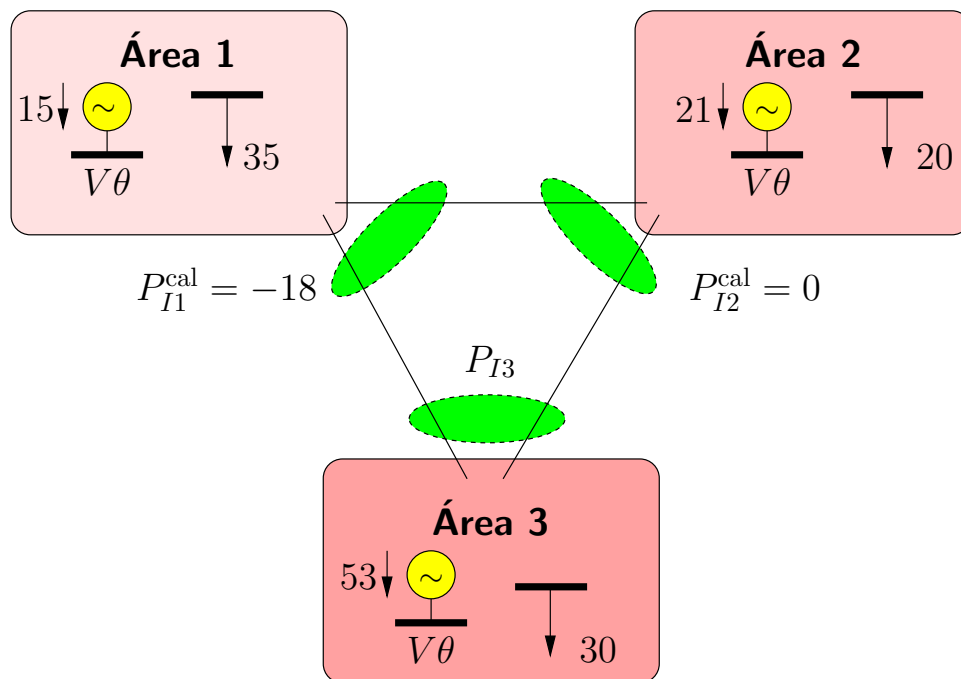
■ Exemplo

Considere o sistema interligado composto por três áreas. Os intercâmbios líquidos de potência são mostrados a seguir.



- as potências são dadas em MW.
- são controlados os fluxos de intercâmbio das áreas 1 e 2.
- as unidades geradoras da área 3 são responsáveis pelo balanço de potência do sistema.

Após uma certa iteração:



Erros de intercâmbio:

$$\begin{aligned} \Delta P_{I1} &= P_{I1}^{\text{esp}} - P_{I1}^{\text{cal}} \\ &= (-15) - (-18) = 3 \end{aligned}$$

$$\begin{aligned} \Delta P_{I2} &= P_{I2}^{\text{esp}} - P_{I2}^{\text{cal}} \\ &= (-10) - (0) = -10 \end{aligned}$$

Ajustes de geração:

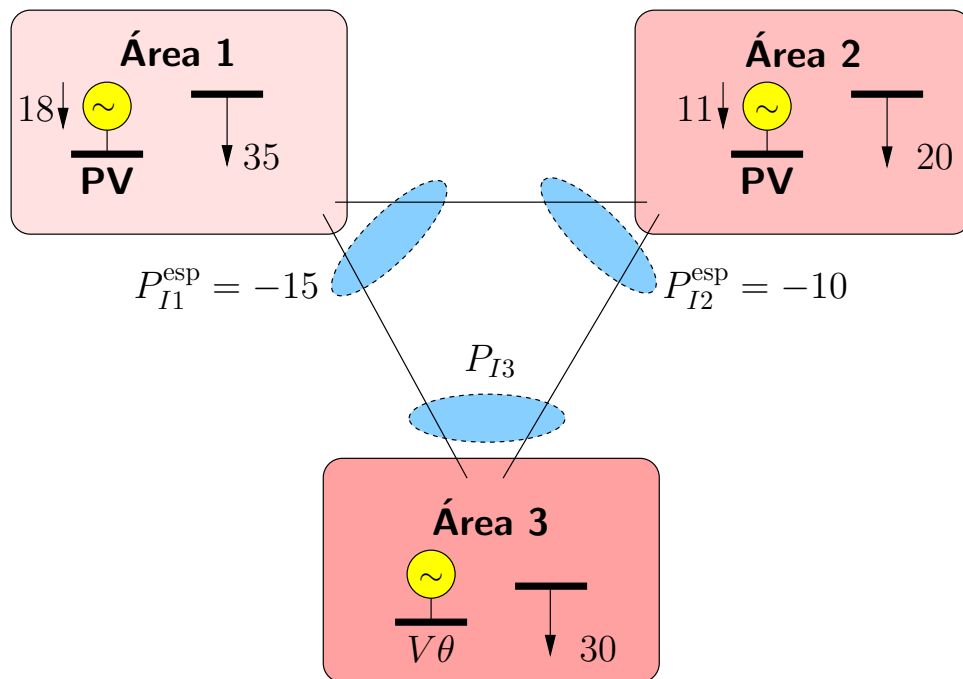
$$\begin{aligned} P_{G1}^{\text{nov}} &= P_{G1}^{\text{velho}} + \Delta P_{G1} \\ &= P_{G1}^{\text{velho}} + \Delta P_{I1} \\ &= (15) + (3) = 18 \end{aligned}$$

$$\begin{aligned} P_{G2}^{\text{nov}} &= P_{G2}^{\text{velho}} + \Delta P_{G2} \\ &= P_{G2}^{\text{velho}} + \Delta P_{I2} \\ &= (21) + (-10) = 11 \end{aligned}$$

As barras slack das áreas 1 e 2 são transformadas em PV e seus valores especificados de injeção de potência ativa são $P_{G1}^{\text{nov}} e P_{G2}^{\text{nov}}$, respectivamente.

A barra slack da área 3 passa a ser a barra slack de todo o sistema.

A nova configuração do sistema interligado para a iteração seguinte é:



■

5.8.2 Ajuste simultâneo

► É possível incorporar o controle de intercâmbio diretamente nas equações de fluxo de carga:

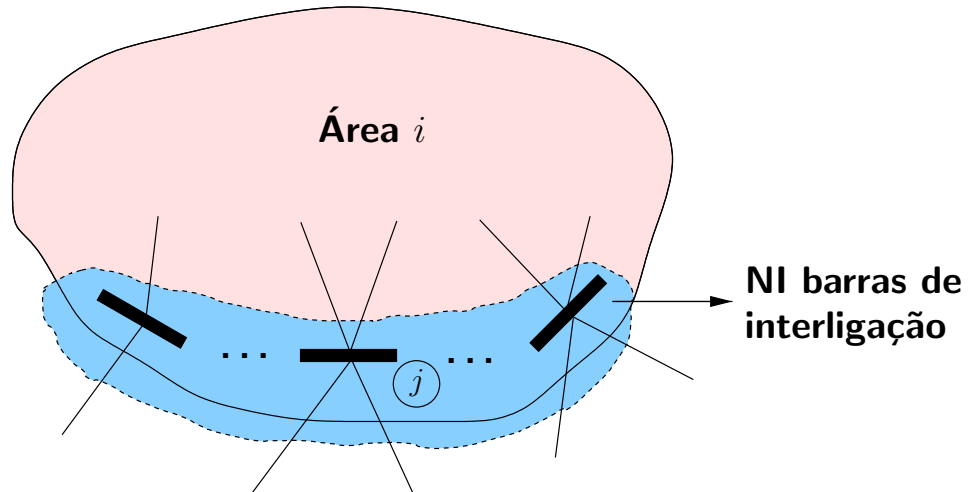
- as barras de folga de todas as áreas menos uma são classificadas como sendo do tipo V (somente a magnitude de tensão é especificada).

Tem-se então $NV = NA - 1$ barras do tipo V.

- as equações de erro de intercâmbio de todas as áreas menos uma são acrescentadas ao conjunto de equações do subsistema 1:

$$P_{Ii}^{\text{esp}} - P_{Ii}^{\text{cal}} = 0 \quad i = 1, \dots, NV$$

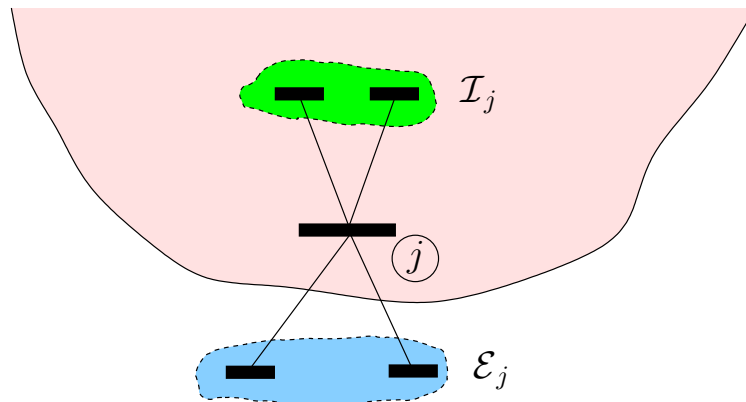
- a expressão de $P_{I_i}^{cal}$ é dada pela soma dos fluxos das linhas conectadas às barras de interligação. Para uma certa área i :



As barras de interligação são conectadas a barras da própria área i e a barras de outras áreas.

- para uma certa barra de interligação j define-se:

$\mathcal{I}_j \rightarrow$ conjunto das barras vizinhas da barra j que pertencem à área i
 $\mathcal{E}_j \rightarrow$ conjunto das barras vizinhas da barra j que pertencem a outras áreas



Logo:

$$\Omega_j = \mathcal{I}_j \cup \mathcal{E}_j$$

Realizando o balanço de potências para a barra j :

$$\begin{aligned} P_j &= P_{Gj} - P_{Cj} = \sum_{m \in \Omega_j} P_{jm} \\ &= \sum_{m \in \mathcal{I}_j} P_{jm} + \sum_{m \in \mathcal{E}_j} P_{jm} \\ &= \sum_{m \in \mathcal{I}_j} P_{jm} + P_I^j \end{aligned}$$

O intercâmbio líquido de potência para a barra de interligação j é:

$$P_I^j = (P_{Gj} - P_{Cj}) - \sum_{m \in \mathcal{I}_j} P_{jm}$$

O intercâmbio líquido de potência para a área i será igual à soma dos intercâmbios P_I^j das barras de interligação j :

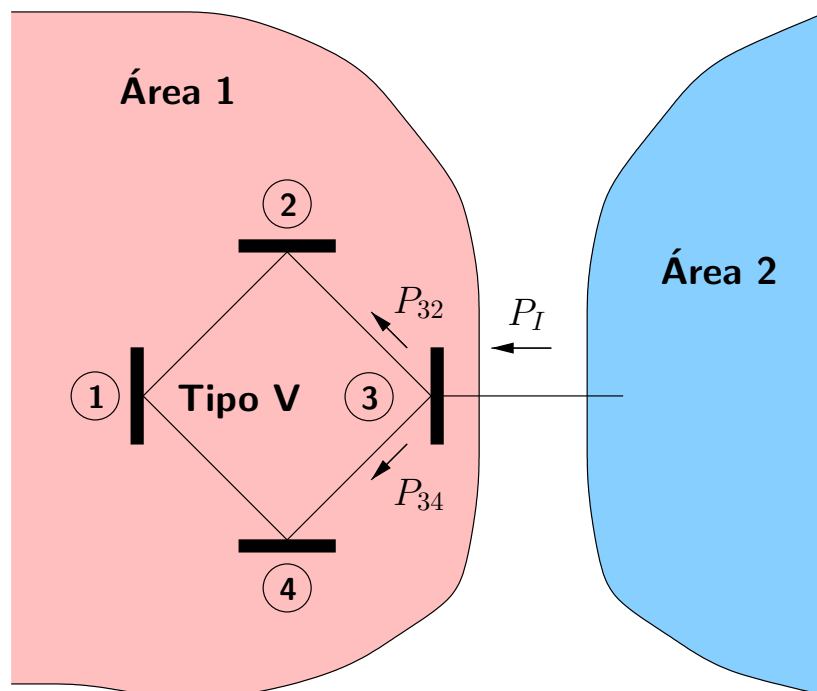
$$P_{Ii}^{\text{calc}} = \sum_{j=1}^{\text{NI}} \left[(P_{Gj} - P_{Cj}) - \sum_{m \in \mathcal{I}_j} P_{jm} \right]$$

- acrescenta-se o ângulo das tensões das barras tipo V no vetor das variáveis dependentes, resultando:

$$\underbrace{\begin{Bmatrix} \Delta \underline{P} \\ \Delta \underline{Q} \\ \Delta \underline{P}_I \end{Bmatrix}}_{NV} = \begin{bmatrix} \frac{\partial \underline{P}}{\partial \underline{\theta}} & \frac{\partial \underline{P}}{\partial \underline{V}} & \frac{\partial \underline{P}}{\partial \underline{\theta}_I} \\ \frac{\partial \underline{Q}}{\partial \underline{\theta}} & \frac{\partial \underline{Q}}{\partial \underline{V}} & \frac{\partial \underline{Q}}{\partial \underline{\theta}_I} \\ \frac{\partial \underline{P}_I}{\partial \underline{\theta}} & \frac{\partial \underline{P}_I}{\partial \underline{V}} & \frac{\partial \underline{P}_I}{\partial \underline{\theta}_I} \end{bmatrix} \cdot \begin{Bmatrix} \Delta \underline{\theta} \\ \Delta \underline{V} \\ \Delta \underline{\theta}_I \end{Bmatrix} \quad NV = NA - 1$$

■ Exemplo

Considere o sistema interligado composto por duas áreas e uma linha de interligação mostrado a seguir.



Neste caso tem-se:

$$\mathbf{NA} = 2$$

$$\mathbf{NV} = \mathbf{NA} - 1 = 1$$

O controle de intercâmbio é realizado pela área 1. A injeção de potência de intercâmbio é calculada por:

$$\begin{aligned} P_I^{\text{cal}} &= (P_{G3} - P_{C3}) - (P_{32} + P_{34}) \\ &= -(P_{32} + P_{34}) \end{aligned} \quad \text{(considerando } P_{G3} = P_{C3} = 0 \text{ para simplificar)}$$

A barra 1 é transformada em barra do tipo **V** e, em consequência, o ângulo de fase θ_1 passa a fazer parte do vetor das variáveis de estado da rede. Para este exemplo tem-se:

$$\begin{aligned} \Delta \underline{P}_I &= \Delta P_I \\ \Delta \underline{\theta}_I &= \Delta \theta_1 \end{aligned}$$

e a seguinte equação é acrescentada ao sistema de equações de fluxo de carga:

$$P_I^{\text{esp}} - P_I^{\text{cal}}(V_2, \theta_2, V_3, \theta_3, V_4, \theta_4) = 0$$

A submatriz $\partial \underline{P}_I / \partial \underline{\theta}_I$ é na verdade um escalar e vale:

$$\frac{\partial}{\partial \underline{\theta}_I} P_I = \frac{\partial}{\partial \theta_1} P_I = 0$$



Problema: podem aparecer zeros na diagonal principal da matriz $\partial \underline{P}_I / \partial \underline{\theta}_I$ quando a barra slack não estiver conectada à barra de interligação.

Dependendo do método utilizado para a obtenção da inversa da matriz Jacobiana, cuidados especiais devem ser tomados para que ela seja calculada corretamente.

Soluções que podem ser adotadas:

- deixar as linhas e colunas correspondentes ao controle de intercâmbio nas últimas posições
- outros esquemas especiais de numeração das equações

■ Exemplo

Considere o sistema de equações mostrado a seguir.

$$\begin{cases} 2x_2 + 3x_3 = 5 \\ 2x_1 + 4x_2 + x_3 = 7 \\ 3x_1 + x_2 + 7x_3 = 11 \end{cases}$$

O sistema pode ser colocado na forma matricial:

$$\begin{bmatrix} 0 & 2 & 3 \\ 2 & 4 & 1 \\ 3 & 1 & 7 \end{bmatrix} \cdot \begin{bmatrix} x_1 \\ x_2 \\ x_3 \end{bmatrix} = \begin{bmatrix} 5 \\ 7 \\ 11 \end{bmatrix}$$

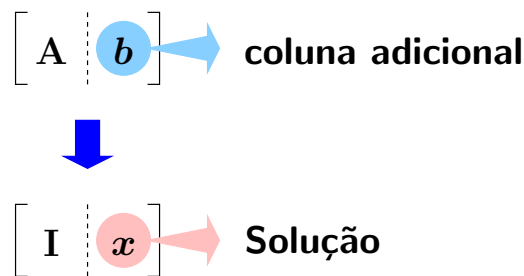


$$A \cdot x = b$$

A solução deste sistema de equações é obtida através de:

$$x = A^{-1} \cdot b$$
$$= \begin{bmatrix} -0,5192 & 0,2115 & 0,1923 \\ 0,2115 & 0,1731 & -0,1154 \\ 0,1923 & -0,1154 & 0,0769 \end{bmatrix} \cdot \begin{bmatrix} 5 \\ 7 \\ 11 \end{bmatrix} = \begin{bmatrix} 1 \\ 1 \\ 1 \end{bmatrix}$$

Uma forma de se resolver o problema é através da eliminação de Gauss, que consiste em partir de uma **matriz aumentada** contendo A e b e obter uma nova matriz aumentada que conterà a solução x :



em que I é a matriz identidade. Para a obtenção de I a partir de A deve-se realizar operações (combinações lineares) entre as linhas de A , de forma a:

- (1) tornar todos os elementos do triângulo inferior de A iguais a 0;
- (2) tornar todos os elementos da diagonal de A iguais a 1;
- (3) tornar todos os elementos do triângulo superior de A iguais a 0.

Ao mesmo tempo o vetor solução x será obtido a partir do vetor independente b .

Para a matriz do exemplo, o problema aparece já no passo (1). A matriz aumentada inicial é:

$$\left[\begin{array}{ccc|c} 0 & 2 & 3 & 5 \\ 2 & 4 & 1 & 7 \\ 3 & 1 & 7 & 11 \end{array} \right]$$

No passo 1, as posições (2,1), (3,1) e (3,2) devem ser zeradas. No caso da posição (2,1) a seguinte operação deveria ser realizada:

$$[\text{linha 2}] = [\text{linha 1}] \cdot \text{fator} + [\text{linha 2}]$$

Para zerar o elemento (2,1):

$$\text{fator} = -\frac{A_{2,1}}{A_{1,1}}$$

É impossível realizar essa operação pois $A_{1,1} = 0$. O mesmo vale para o elemento (3,1).

Considere então as equações originais escritas de outra forma:

$$\begin{cases} 2x_1 + 4x_2 + x_3 = 7 \\ 2x_2 + 3x_3 = 5 \\ 3x_1 + x_2 + 7x_3 = 11 \end{cases}$$

A matriz aumentada é:

$$\left[\begin{array}{ccc|c} 2 & 4 & 1 & 7 \\ 0 & 2 & 3 & 5 \\ 3 & 1 & 7 & 11 \end{array} \right]$$

Passo 1:

$$\left[\begin{array}{ccc|c} 2 & 4 & 1 & 7 \\ 0 & 2 & 3 & 5 \\ 3 & 1 & 7 & 11 \end{array} \right]$$

$$[\text{linha 3}] \leftarrow [\text{linha 1}] \times (-3/2) + [\text{linha 3}]$$

$$\left[\begin{array}{ccc|c} 2 & 4 & 1 & 7 \\ 0 & 2 & 3 & 5 \\ 0 & -5 & 11/2 & 1/2 \end{array} \right]$$

$$[\text{linha 3}] \leftarrow [\text{linha 2}] \times (5/2) + [\text{linha 3}]$$

$$\left[\begin{array}{ccc|c} 2 & 4 & 1 & 7 \\ 0 & 2 & 3 & 5 \\ 0 & 0 & 13 & 13 \end{array} \right]$$

Triângulo inferior zerado

Passo 2:

$$\left[\begin{array}{ccc|c} 2 & 4 & 1 & 7 \\ 0 & 2 & 3 & 5 \\ 0 & 0 & 13 & 13 \end{array} \right]$$

$$[\text{linha 1}] \leftarrow [\text{linha 1}] \times (1/2)$$

$$[\text{linha 2}] \leftarrow [\text{linha 2}] \times (1/2)$$

$$[\text{linha 3}] \leftarrow [\text{linha 3}] \times (1/13)$$

$$\left[\begin{array}{ccc|c} 1 & 2 & 1/2 & 7/2 \\ 0 & 1 & 3/2 & 5/2 \\ 0 & 0 & 1 & 1 \end{array} \right]$$

Elementos da diagonal iguais a 1

Passo 3:

$$\left[\begin{array}{ccc|c} 1 & 2 & 1/2 & 7/2 \\ 0 & 1 & 3/2 & 5/2 \\ 0 & 0 & 1 & 1 \end{array} \right]$$

$$\text{[linha 2]} \leftarrow \text{[linha 3]} \times (-3/2) + \text{[linha 2]}$$

$$\left[\begin{array}{ccc|c} 1 & 2 & 1/2 & 7/2 \\ 0 & 1 & 0 & 1 \\ 0 & 0 & 1 & 1 \end{array} \right]$$

$$\text{[linha 1]} \leftarrow \text{[linha 3]} \times (-1/2) + \text{[linha 1]}$$

$$\left[\begin{array}{ccc|c} 1 & 2 & 0 & 3 \\ 0 & 1 & 0 & 1 \\ 0 & 0 & 1 & 1 \end{array} \right]$$

$$\text{[linha 1]} \leftarrow \text{[linha 2]} \times (-2) + \text{[linha 1]}$$

$$\left[\begin{array}{ccc|c} 1 & 0 & 0 & 1 \\ 0 & 1 & 0 & 1 \\ 0 & 0 & 1 & 1 \end{array} \right]$$

Triângulo superior zerado

Finalmente obtém-se a matriz aumentada $[I \mid x]$ e a solução do problema:

$$x^T = [1 \ 1 \ 1]$$

Exercício: Verificar que também é possível obter uma solução via eliminação de Gauss para o problema se este for definido como (zero na posição (3,3) da matriz):

$$\begin{cases} 7x_3 + x_2 + 3x_1 = 11 \\ x_3 + 4x_2 + 2x_1 = 7 \\ 3x_3 + 2x_2 = 5 \end{cases}$$

5.9 Controle de tensão em barras remotas

▶ A barra remota é em geral uma barra de carga (tipo PQ).

▶ Este controle é realizado utilizando:

- transformadores em fase

Tudo funciona como mostrado anteriormente (seção 5.6)

A diferença é que barra controlada não é mais a barra terminal do transformador

- injeção de reativos

A barra de controle em geral é uma barra de geração (tipo PV).

5.9.1 Ajuste alternado

▶ A tensão da barra de controle k é ajustada entre iterações a fim de eliminar o erro de tensão na barra controlada i :

$$\Delta V_k = \alpha \cdot \Delta V_i$$

5.9.2 Ajuste simultâneo

- ▶ A barra de controle (originalmente do tipo PV) passa a ser classificada como **tipo P** → contribui com uma equação para P e sua magnitude de tensão passa a ser uma incógnita.
- ▶ A barra controlada (originalmente do tipo PQ) passa a ser classificada como **tipo PQV** → contribui com duas equações para P e Q e sua magnitude de tensão deixa de ser uma incógnita.
- ▶ O número de incógnitas permanece inalterado, assim como o número de equações.
- ▶ A formulação do fluxo de carga fica:

$$\begin{array}{c} \Delta \underline{P} \\ \Delta \underline{Q} \end{array} = \begin{array}{|c|c|} \hline \frac{\partial}{\partial \underline{\theta}} \underline{P} & \frac{\partial}{\partial \underline{V}} \underline{P} \\ \hline \frac{\partial}{\partial \underline{\theta}} \underline{Q} & \frac{\partial}{\partial \underline{V}} \underline{Q} \\ \hline \end{array} \cdot \begin{array}{c} \Delta \underline{\theta} \\ \Delta \underline{V} \end{array} \left. \begin{array}{l} \} \\ \} \end{array} \right\} \begin{array}{l} \text{NPQ} + \text{NPV} + \text{NPQV} + \text{NP} \\ \text{NPQ} + \text{NP} \end{array}$$

- ▶ NP é o número de barras de controle e NPQV é o número de barras controladas. Observar que NP = NPQV